

# 镎的放射化学研究

212 科 技 图 书 馆

一九七三年六月

## 内 容 提 要

自1958年以来，日本原子能研究所（JAERI）化学部研究了镎的放射化学，其中包括镎（IV）、（V）和（VI）的溶剂萃取、共沉淀及络合物的形成。

在镎的溶剂萃取研究中，把磷酸化试剂、十二烷基苯磺酸及高分子量的烷基胺作为有机相，而硝酸、盐酸、硫酸或高氯酸为水相。通过该项研究，得到了在大多数常用的萃取体系中镎的分配系数与酸度关系的曲线。

采用溶剂萃取法研究了镎与草酸、扁桃酸、苯胂酸及乙二胺四乙酸的络合物的形成。在共沉淀研究方面，证明了镎（V）为氟化镧所载带。

在第一号日本研究性反应堆（JRR-1）的燃料溶液中发现了 $\text{Np}^{237}$ 。在中子辐照过的 $\text{Np}^{237}$ 中检出了 $\text{Np}^{238}$ 和 $\text{Pu}^{238}$ 。

文章译自日本原子能研究所报告 JAERI-1099, "Radiochemical Studies of Neptunium", 1965年。

## 目 录

一、序言 .....	( 1 )
二、磷酸化试剂对镎的溶剂萃取 .....	( 3 )
三、十二烷基苯磺酸对镎的溶剂萃取 .....	( 22 )
四、高分子量烷基胺与其它萃取剂对镎的溶剂萃取 .....	( 28 )
五、镎(IV)与有关离子的一些络合物 .....	( 37 )
六、镎与三氟化镧的共沉淀 .....	( 46 )
七、镎的反应堆化学研究 .....	( 59 )
参考资料 .....	( 66 )

## 一、序言

镎，原子序数为93，居超铀元素之首位，在1940年为Mcmillan和Abelson所发现<sup>[1]</sup>。首先发现的同位素是半衰期为2.3天的Np<sup>239</sup>。Mcmillan和Abelson研究了痕量浓度下镎的化学，并且指出，在水溶液中镎至少有两种氧化价态。高氧化价态与低氧化价态的镎在共沉淀行为方面是不同的；低氧化价态的镎为稀土氟化物所载带，而高氧化价态的镎则不能。高氧化价态的镎在化学上似乎与铀(VI)相似。

继Mcmillan和Abelson的研究工作之后，一些研究者继续研究了镎在痕量浓度下的化学行为<sup>[2-5]</sup>。在许多早期工作中，为了判别氧化价态而观察了共沉淀的行为，然而，对结果的解释却彼此略有分歧。Cunningham和Hindman<sup>[6]</sup>认为，这分歧主要是由于不承认镎(V)在水溶液中是稳定的价态所致。尽管如此，通过痕量实验还是对镎化学的认识作出了一些有益的贡献。在Seaborg和Wahl<sup>[7]</sup>于1942年分离出50微克长寿命同位素Np<sup>237</sup>之后，就有常量的镎可用，于是镎的化学研究也随而得到了发展。

自然界中的镎量是很少的，因为Np<sup>237</sup>的半衰期比地球的估计年令要短，所以开始的Np<sup>237</sup>几乎都衰变掉了。但是由于铀俘获中子而连续不断地生成镎，所以它才能存在于自然界<sup>[8-9]</sup>。

最近，用离子交换及溶剂萃取法研究了镎的化学行为<sup>[10-12]</sup>。这些结果与共沉淀的结果很不一致。虽然在锕系中镎的相邻元素——铀和钚由于作为核燃料的重要性而作了详细的研究，但是对镎的研究却很不系统。因此，在本研究工作中对镎的溶剂萃取作了广泛的考查。

研究镎的溶剂萃取行为时，特别注意了镎的氧化价态。镎有四种氧化价态，即：镎(I)、镎(IV)、镎(V)、和镎(VI)。在这些氧化价态中，镎(I)在普通水溶液中是不存在的，因为它不稳定，易被空气氧化。镎(IV)和(VI)在化学性质上与正四价和正六价的锕系元素十分相似<sup>[2]</sup>。这种相似性很容易在溶剂萃取行为上找到：

- (1) 在含10%(体积)三正辛胺的二甲苯—硝酸体系中的六价铀、镎和钚<sup>[13]</sup>；
- (2) 在含19%(体积)磷酸三丁酯的煤油—硝酸体系中的四价镎和钚<sup>[14]</sup>；
- (3) 在含10%(体积)三正辛胺的二甲苯—硝酸体系中的四价镎和钚<sup>[6]</sup>；
- (4) 在与(3)相同体系中的六价镎和钚<sup>[15]</sup>。

本研究工作所得到的数据提供了许多萃取体系，其中四价和六价锕系元素（包括镎在内）的溶剂萃取行为都是彼此相似的，如第二、三和四章所述。

此外，从镎(IV)和(VI)得到的结果与所报导的在磷酸三丁酯—硝酸体系中所得的结果十分符合。所以，用含镎(IV)和(VI)的初始溶液所取得的结果就看作为确是镎(IV)和(VI)的结果。镎(IV)和(VI)的初始溶液的制备基于以前所报导的氧化和还原法<sup>[2]</sup>。

另一方面，对镎(V)的溶剂萃取数据除了低的可萃取性之外，还几乎没有报导过。所以，镎(V)的氧化价态只能推想如下：

- (1) 镱(V)的制备方法如前所述；
- (2) 其性能与镎(IV)和(VI)都不同；
- (3) 它用氧化镎(IV)而得到，且与镎(VI)不同；
- (4) 它由还原镎(VI)而得到，且与镎(IV)不同。

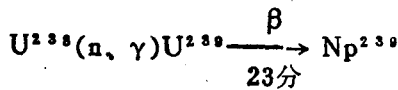
这样，在本研究工作中就较好地取得了镎(IV)、(V)和(VI)的磷酸三丁酯萃取数据。

在研究镎的第二阶段，根据磷酸三丁酯的萃取数据来制备镎(IV)、(V)和(VI)。通过测定在磷酸三丁酯-无机酸体系中的Kd值来确保所制备的镎(IV)、(V)和(VI)的氧化价态。在第三章和第四章中，把用该法所制得的镎来测定在十二烷基苯磺酸溶液-盐酸及高分子量烷基胺-无机酸体系中的分配系数。这样，对大多数常用的溶剂萃取体系，都测定了镎(IV)、(V)和(VI)的分配系数。

在第五章中，将所制得的镎(V)用于研究与某些有机络合剂形成的络合物。在这里再次表现出镎(IV)和钍(IV)的相似性。

此外，在第六章，为了在一定程度上澄清镎与氟化镧共沉淀的分歧解释，也采用了磷酸三丁酯萃取制得镎(V)。在该研究中，很明显，微量的镎(V)为氟化镧所载带。

在大多数情况下都用Np<sup>239</sup>作为镎的同位素，它是通过下列的反应形成的：



其半衰期为2.3天，因此，在一般的实验条件下Np<sup>239</sup>的使用浓度约10<sup>-3</sup>克/毫升。Np<sup>239</sup>的鉴别必须用放射性测量法完成。

## 二、磷酸化试剂对镎的溶剂萃取<sup>\*1</sup>

### 引言

Mckay<sup>[1]</sup>和 Hyde<sup>[2]</sup>在分离锕系元素时，用磷酸三丁酯研究了镎的溶剂萃取。他们指出，TBP可从硝酸溶液中萃取镎(IV)和(VI)，但没有报导分配系数。一九五八年，只发表了在 TBP—硝酸体系中的镎(IV)和(VI)的二条酸度关系曲线<sup>[17]</sup>。这就是关于磷酸化试剂作镎的溶剂萃取方面所报导的全部成果；在本工作中，利用几种磷酸化试剂对镎的溶剂萃取进行了研究。

因确信TBP是一种天然铀核反应堆元件后处理的铀和钚的良好有机萃取剂后，就详细地研究了磷酸三丁酯对铀、钚和裂变产物的溶剂萃取。镎和钚一样，都是在核反应堆中产生的，但镎量仅为钚的0.1%；这样，研究者常忽视镎的TBP萃取。后来，Mckay给出了在硝酸溶液中镎(IV)和(VI)的二条酸度关系曲线<sup>[17]</sup>，然而，却没有给出镎在其它体系中的TBP萃取数据。在本研究工作中，得到了镎的三种氧化价态(Np(IV)、Np(V)及Np(VI))在酸度和TBP浓度变化时的磷酸三丁酯—盐酸、硝酸和高氯酸体系中的行为。

二(2-乙基己基)磷酸也证明可用作铀和其它金属的溶剂萃取试剂<sup>[3-5,24]</sup>。在1960年，Kimura 报导了从盐酸溶液中萃取金属离子的广泛研究<sup>[6]</sup>。根据以前的工作，HDEHP是作为一种在低酸度范围内液体阳离子交换剂而参与反应的。换句话说，在无机阳离子和HDEHP之间形成了HDEHP—金属离子络合物，并把这种络合物萃入有机相<sup>[24]</sup>。至于镎，则还没有报导过HDEHP的溶剂萃取。因此，在本工作中研究了镎(IV)、(V)和(VI)的 HDEHP萃取；象铀<sup>[3]</sup>、钍<sup>[6]</sup>及其它金属<sup>[25]</sup>与 HDEHP 形成络合物而被萃取一样，也把镎(IV)、(V)和(VI)看成是与HDEHP形成HDEHP—镎络合物而被萃取的。

除了TBP和HDEHP的萃取研究之外，在本研究中还得到了用有机萃取剂三丁基膦化氧(TBPO)、四丁基甲叉二膦酸和四丁基乙烯二膦酸作镎的溶剂萃取的新资料。

### 实验

#### 1、试剂

将有机萃取试剂简列于表2.1中，该表也给出了稀释剂、净化方法和所用的水相。

\*<sup>1</sup> Healy等人用磷酸化试剂这个名词作为含有磷酰基=P=O或者二磷酰基=P(O)-Y-(O)P=的萃取剂的普通术语，其中Y是氧、甲叉(CH<sub>2</sub>=)或乙烯<sup>[27,28]</sup>。在许多文献中，用含磷有机化合物这个词代替磷酸化试剂<sup>[25,29,33]</sup>。在本研究中，所用的磷酸化试剂或含磷有机化合物为：磷酸三丁酯、三丁基膦化氧、二(2-乙基己基)磷酸、四丁基甲叉二膦酸和四丁基乙烯二膦酸。

表2.1 被研究的溶剂萃取体系

有机萃取相	萃取名	萃取剂浓度	变化条件	稀释剂	水相	来源	萃取剂的净化
磷酸三丁酯	TBP	100% (体积)	酸浓度	—	HNO <sub>3</sub> , HCl, H <sub>2</sub> SO <sub>4</sub> , HClO <sub>4</sub>	(7, 8, 9)	
		100%~5% (体积)	溶剂浓度	甲苯	HNO <sub>3</sub> , HCl, H <sub>2</sub> SO <sub>4</sub> , HClO <sub>4</sub>	Virgilia Chemicals	
-(2-乙基己基)磷酸 HDEHP				甲苯	HCl, HClO <sub>4</sub>	Tama Kagaku	不作净化
三丁基膦化氧	TBPO	1% (重量/体积)	酸浓度	甲苯	HNO <sub>3</sub> , HCl	Tama Kagaku	"
四丁基甲叉二膦酸	TBMDP	10% (体积)	酸浓度	二甲苯	HNO <sub>3</sub>	Tama Kagaku	"
四丁基乙烯二膦酸	TBEDP	10% (体积)	酸浓度	二甲苯	HNO <sub>3</sub>	Tama Kagaku	"

所用的稀释剂和无机酸是分析纯的，用前不作任何处理。

## 2、放射性同位素

用于TBP萃取镎的放射性示踪剂是 $\text{Np}^{239}$ ，它是从第一号日本研究性反应堆JRR-1（热中子通量为 $10^{12}$ 中子·秒·厘米<sup>2</sup>）里照射了两小时的硝酸铀酰中，用噻吩甲酰三氟丙酮（TTA）萃取剂制得的。将辐照过的硝酸铀酰冷却数小时，转化为氯化物并溶解于0.5N盐酸中。在用少量粒状锌还原之后，用5%（重量/体积）TTA的苯溶液萃取镎。用少量0.5N的盐酸漂洗有机相，并根据需要将它与>3N的盐酸、硝酸、高氯酸或硫酸溶液摇混，于是就得到镎的酸性溶液。使镎溶液与苯接触，以除去其中的少量TTA。镎与裂变产物的分离是很好的。然而通过与过氧化氢的着色反应后，发现在镎溶液中仍有少量铀。在其它萃取研究中也使用 $\text{Np}^{239}$ ，因为TTA萃取法的镎产率很低，所以 $\text{Np}^{239}$ 改用TBP萃取法制备的。

将放射性同位素 $\text{U}^{237}$ 用于双膦酸萃取，它是由轫致辐射轰击二氧化铀制得的<sup>[11]</sup>。

无载体的放射性同位素 $\text{Pa}^{233}$ 是从硝酸钍中分离出来的，硝酸钍曾在日本第一号研究性反应堆（JRR-1）中辐照了二小时。将辐照过的硝酸钍溶于15N的硝酸中。用10%（体积）TBP的甲苯溶液萃取镤，而钍则留在水相中；用水与之搅拌而从有机相中回收镤。往得到的 $\text{Pa}^{233}$ 溶液中加入氨水时不产生沉淀，这就表明钍实际上已被分离了。

所使用的钍的放射性同位素，在双膦酸萃取中为 $\text{Th}^{231}$ ，在其它磷酸化试剂萃取研究中为 $\text{Th}^{234}$ 。 $\text{Th}^{234}$ 是用Dyrssen法制得的，而 $\text{Th}^{231}$ 是用轫致辐射轰击二氧化钍制取的<sup>[12]</sup>。

所用之 $\text{Zr}^{95}$ 、 $\text{Nb}^{95}$ 、 $\text{Ce}^{144}$ 、 $\text{Hf}^{181}$ 来自美国田纳西州橡树岭国立实验室。

用 $\gamma$ 闪烁谱仪， $\beta$ 射线的铝箔吸收和衰变测量来检查放射性同位素的放化纯度。

## 3、分配系数的测定

分配系数Kd定义如下：

$$\frac{\text{有机相中某元素的浓度}}{\text{水相中某元素的浓度}}$$

这里有机相是与水相平衡的。在本研究中，测定Kd值的实验程序如下：所用的水相是含放射性物质的无机酸溶液，有机相为磷酸化试剂溶液，它与相应的空白酸经预先平衡。在室温下将水相与有机相混合。二相的每次接触都是毫升量级的。例如，将2.5毫升含有 $\text{Np}^{239}$ （约 $10^6$ 计数/分）的10.1N硝酸在室温下与2.5毫升未稀释的TBP搅匀，TBP连续与三次等体积的10.1N空白硝酸平衡过。有机相在使用前预先平衡，以避免因磷酸化试剂水解而带来的复杂性。在平衡以后，用离心法将二相分离。取每相的整分试样作 $\beta$ 和 $\gamma$ 计数。无论何时都要分别洗涤水相和有机相，以求得到精确的Kd值。在校正了天然本底计数之后，将有机相（1毫升）的计数率与水相（1毫升）的计数率相除，

就可算得Kd值。在测定Kd值与酸度及萃取剂浓度的关系时，不采取专门的措施，以保持离子强度不变。

如上所述，所有磷酸化试剂的有机相都是与酸溶液预先平衡了的。因为TBPO稍溶于酸溶液，所以水相早已为TBPO所饱和，而且在TPBO的萃取研究中用的是新鲜有机相。

用 $\phi 1^{1/2}$ "的NaI(Tl)晶体的普通井式闪烁计数器来测量 $\gamma$ 射线的计数率。 $Zr^{95}$ 的硬 $\beta$ 射线是用流气计数管来测量其计数率的，此时 $Nb^{95}$ 的软 $\beta$ 射线不被计入。

## 结果与讨论

### 1、磷酸三丁酯萃取

#### 1.1 HNO<sub>3</sub>-TBP体系

由TTA萃取制得的镎指示剂(硝酸溶液)既含有镎(IV)又含有镎(V)。镎(IV)和镎(V)的相对量随示踪溶液的处理而变化，新制得的溶液只含有极少量的镎(V)，而放置几天或在沸水中加热的溶液却含有大量的镎(V)。

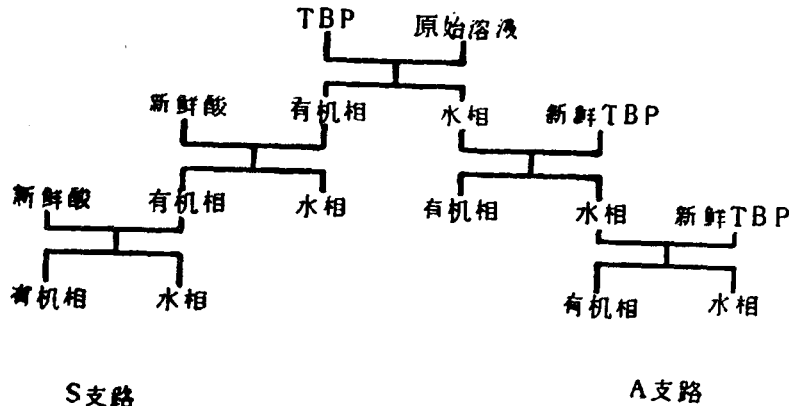


图2.1 镎的萃取流程图

将含有镎(IV)和镎(V)的硝酸溶液与TBP搅匀。得到的有机相和水相分别用新鲜的酸溶液和TBP洗涤(洗涤程序如图2.1所示)，直到Kd值实际上已不变为止。在整个程序中，水溶液的酸度须保持一定。这样，就从洗涤流程的S支路和A支路得到了二个Kd值，即Kd<sup>IV</sup>和Kd<sup>V</sup>。按照镎(IV)和镎(V)对锌、溴酸钾以及TTA-苯的不同化学行为，就可分别得到Kd<sup>IV</sup>和Kd<sup>V</sup>，详述如下：

#### (a) 用溴酸钾氧化

镎(IV)是不能用溴酸钾氧化的<sup>[13]</sup>。在0.5N的硝酸中，Kd<sup>IV</sup>值为2.5。在加入氧化剂并用几份新鲜酸洗涤后，其Kd值几乎仍然不变，为2.7，这就表明给出Kd<sup>IV</sup>值的离子实际上不被氧化。

另一方面，镎(V)易被溴酸钾氧化为镎(Ⅵ)，而镎(IV)则不能<sup>[13]</sup>。Kd<sup>V</sup>值在硝酸浓度为1N时为0.026，而在用溴酸钾氧化并以新鲜酸溶液洗涤之后则变为16.3。这种变化表明，给出Kd<sup>V</sup>值的离子易为溴酸钾氧化。此外，16.3的Kd值与在同一酸度下的Kd<sup>IV</sup>值不同。这就测得了一个新的第三个Kd值。既然离子镎(V)易被溴酸钾氧化，又把给出Kd<sup>V</sup>值的离子认为是Np(V)，因此就把第三个值认为是氧化了的镎，即镎(Ⅵ)的Kd值了。

### (b) 用金属锌还原

Kd<sup>IV</sup>值(在1N硝酸时为6.92)在加入粒状锌且在水浴上加热后，几乎仍然不变；而Kd<sup>V</sup>值(在1N硝酸时为0.026)在用金属锌还原并用新鲜酸洗涤有机相以后，便为7.8。这个值(7.8)是与在同一酸度下的Kd<sup>IV</sup>值大体符合的，这就表明给出Kd<sup>V</sup>的离子已被还原为另一个Kd<sup>IV</sup>的离子了。另一方面，对于不用锌而在水浴上加热后的Kd<sup>V</sup>离子，测得Kd值为0.084。在这种情况下，认为Kd<sup>V</sup>类离子不被还原而照旧不变。因此，给出Kd<sup>IV</sup>的离子为还原态镎即Np(IV)，而给出Kd<sup>V</sup>值的离子即为Np(V)。

### (c) 用TTA萃取

在表2.2中给出了这两类离子的萃取行为的比较：

表2.2 在1N HNO<sub>3</sub>中TTA萃取镎的行为

TTA在苯中的浓度 %(重量/体积)	Kd值	
	在TBP-HNO <sub>3</sub> 体系 中给出镎(IV)的Kd <sup>IV</sup>	在TBP-HNO <sub>3</sub> 体系 中给出镎(V)的Kd <sup>V</sup>
5.0	4.11	0.017
2.5	0.95	0.021
1.25	0.31	0.011

由表可见，在TBP-硝酸体系中给出高Kd<sup>IV</sup>值的离子，在TTA萃取时有高的Kd值；而在TBP-硝酸体系中给出低Kd<sup>V</sup>值的另一类离子，在TTA萃取时则有低的Kd值。由此可知，镎(IV)为TTA所萃取，而镎(V)及镎(Ⅵ)则不被萃取<sup>[14]</sup>。因此，有理由认为，给出Kd<sup>IV</sup>和Kd<sup>V</sup>的两类离子分别为镎(IV)和镎(V)。

这样，就证明Kd<sup>IV</sup>、Kd<sup>V</sup>和第三个Kd值分别是镎(IV)、镎(V)和镎(Ⅵ)的分配系数了。在测定Kd值时，镎(IV)、(V)和(Ⅵ)是按照先前的研究者的方法制备的；然而，为了测定精确的Kd值，如上所述，在用溴酸钾氧化和用锌还原时，洗涤技术起到了很重要的作用。这个事实意味着，用溴酸钾将镎(V)氧化至镎(Ⅵ)时得到的是镎(V)。

和镎(Ⅵ)的混合物；而镎(Ⅴ)被金属锌部分地还原为镎(Ⅳ)。因此洗涤是必要的，而且已精确地测定了不同的硝酸浓度下镎(Ⅳ)、(V)和(Ⅵ)的K<sub>d</sub>值。图2.2给出了这些精确的K<sub>d</sub>值。在测定镎(Ⅵ)的K<sub>d</sub>值时，也用铈(Ⅳ)铵的硝酸盐作氧化剂<sup>[13]</sup>。在图2.2中的镎(Ⅳ)和镎(Ⅵ)的结果，当酸度大于1N时是与McKay等人<sup>[17]</sup>的结果<sup>\*2</sup>相一致的。

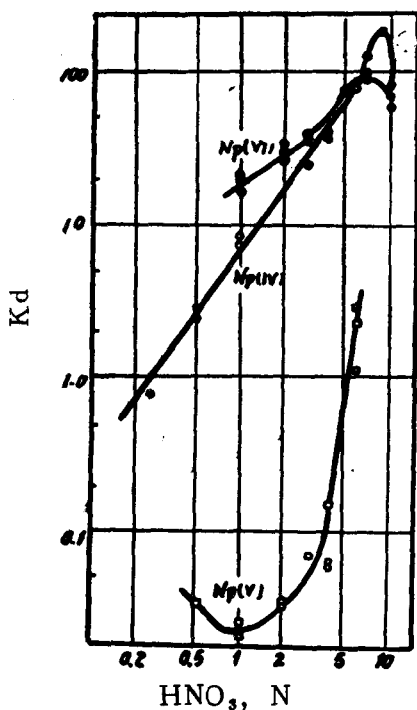


图2.2 在HNO<sub>3</sub>-100% TBP中镎的K<sub>d</sub>值

与酸度的关系同铪(Ⅳ)、钍(Ⅳ)、镁(Ⅴ)和钚(Ⅳ)作了比较。

钍(Ⅳ)<sup>\*3</sup>和钚(Ⅳ)<sup>\*4</sup>曲线是分别根据Peppard等人<sup>[8]</sup>的数据和McKay<sup>[16]</sup>等人的值作成的。如图2.3所示，镎(Ⅳ)的行为与锕系元素中的相邻元素钚(Ⅳ)很相似；然而钚(Ⅳ)的K<sub>d</sub>值比镎(Ⅳ)高。在硝酸酸度低于9N时，另一个锕系元素钍(Ⅳ)有几乎与镎(Ⅳ)相同的K<sub>d</sub>值。铪(Ⅳ)的萃取行为与镎(Ⅳ)完全不同。

镎(Ⅴ)的行为更象铪(Ⅳ)，而不像镁(Ⅴ)。

镎(Ⅳ)、铀(Ⅳ)和钚(Ⅳ)在TBP-HNO<sub>3</sub>

上面给出的结果对于制备镎(Ⅳ)、(V)和(Ⅵ)的硝酸溶液都是有帮助的。例如，可以容易地用TBP从1~2N硝酸溶液中除去镎(Ⅳ)和镎(Ⅵ)而制取镎(Ⅴ)。此外，通过测定TBP-HNO<sub>3</sub>体系中的K<sub>d</sub>值，并与图2.2中的K<sub>d</sub>值作比较，就能在一定程度上证明镎在硝酸溶液中的氧化价态。

在图2.3中，将镎(Ⅳ)和(Ⅴ)的K<sub>d</sub>值

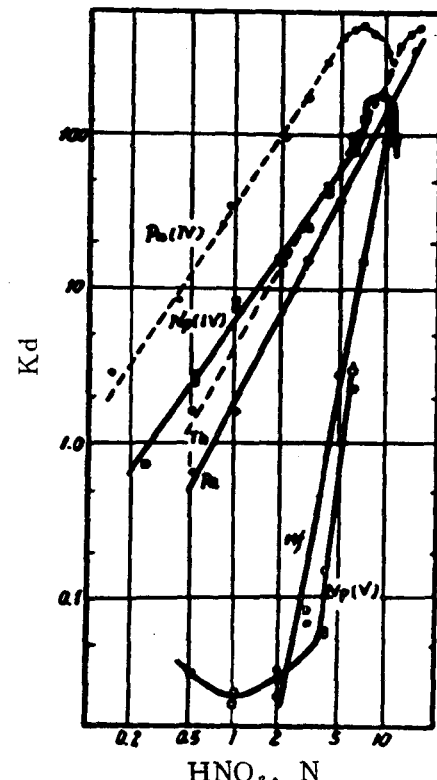


图2.3 镎、钚、钍、镁和铪的K<sub>d</sub>值

\*2 K<sub>d</sub>值是用Np<sup>2+</sup><sup>37</sup>和19%(体积)TBP-煤油测得的。而100%TBP的K<sub>d</sub>值则是由这些值估算的，K<sub>d</sub>值与TBP浓度的关系是从本节所用的另一系列实验得到的。

体系中的Kd值示于图2.4中。Naito<sup>⑥</sup>给出了铀<sup>\*5</sup>在20% TBP-四氯化碳-HNO<sub>3</sub>体系中的Kd值。他还发现，在这个体系中Kd值对溶剂浓度成平方关系。因此，他在图2.4中，用25乘以Naito的Kd值就得到了在100% TBP-HNO<sub>3</sub>体系中的Kd值，据此作出铀(VI)的曲线。图2.4中的钚(VI)<sup>\*4</sup>曲线(有空心点的曲线)也是将McKay等人<sup>[15]</sup>的数据作同样修正后作出的。图2.4中另一条钚(VI)曲线是由Ishimori<sup>[27]</sup>得到的。众所周知，用TBP的浓度关系去修正时是不够满意的。此外，常量和微量锕系元素的行为还有一些差别；所以，将图2.4中的四条曲线相互作比较，严格来说，是不够恰当的。但是，这四条曲线显然都有一个相似的萃取行为，即在约6至

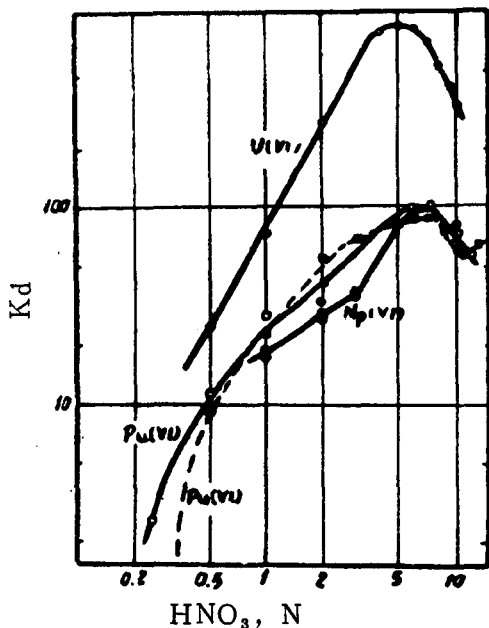


图2.4 在HNO<sub>3</sub>-100% TBP体系中的Kd值

○ U(VI)(≤0.001M) ● Np(VI)  
□ Pu(VI) ■ Pu(VI)

7 N处有一最大的Kd值。

用10N的硝酸考查了镎的Kd值对TBP浓度的关系。在图2.5中作出了Kd值与TBP浓度的双对数图。该图表明，镎(VI)的Kd值同铀(VI)<sup>\*5</sup>及钚(VI)<sup>\*4</sup>一样，都与TBP浓度成平方关系。这里再次说明铀(VI)、镎(VI)和钚(VI)在TBP萃取中具有相似的行为。

\*3 原始数据是在22±2℃和100% TBP时得到的，而且以Th<sup>230</sup>作为钍的放射性示踪剂。

\*4 原始数据是在25℃、19% (体积) TBP-煤油、痕量钚浓度下得到的。还知道其Kd值随TBP浓度的平方而变化。图2.3中100% TBP体系的数据是按McKay的这些结果计算得出的。

\*5 这个Kd值是在25℃时用≤0.001M铀浓度测定的。

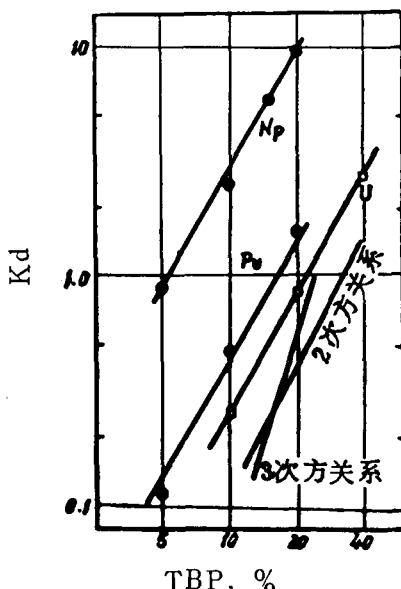


图2.5 在HNO<sub>3</sub>-TBP体系中Kd值与TBP浓度的关系

● 在10N HNO<sub>3</sub>中的Np(VI)  
○ 在11.5N HNO<sub>3</sub>中的Pu(VI)  
□ 在0.27N HNO<sub>3</sub>中的U(VI)  
(≤0.001M)

## 1.2 HCl-TBP 体系

镎(Ⅵ)是由氯酸钾氧化镎(Ⅳ)和(Ⅴ)并在沸水中加热制备的<sup>[13]</sup>，其Kd值如图2.6所示。用U<sup>233</sup>以氯化铀酰形式得到镎(Ⅵ)的Kd值也示于同一图中，以便与镎(Ⅵ)比较。这两条曲线在形状上非常相似，说明这两种离子在化学行为上也很相似。然而，在所研究的整个酸度范围内，镎(Ⅵ)较之铀更易萃取。

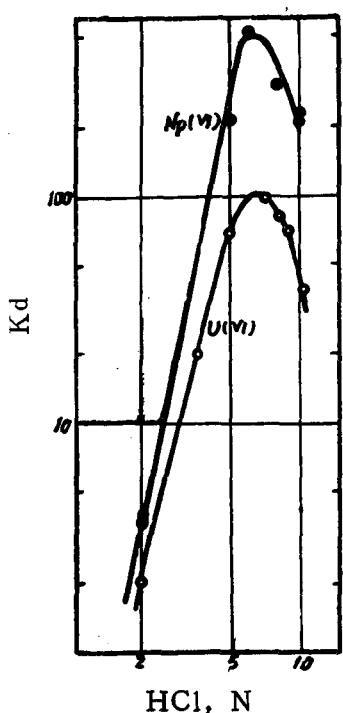


图2.6 镎和铀的Kd值与酸度的关系

在6 N盐酸浓度下，甲苯为稀释剂，测定了镎(Ⅵ)的Kd值与TBP浓度(以体积百分比表示)的关系。如图2.7所示，它是一个平方关系。

镎(Ⅴ)的盐酸溶液是用硫酸肼还原镎(Ⅵ)制得的<sup>[13]</sup>。而制备镎(Ⅳ)溶液是：先用盐酸(>3 N)从TTA-苯体系中反萃出镎，然后用盐酸羟胺<sup>[13]</sup>、粒状锌<sup>[13]</sup>或抗坏血酸处理，以还原进入溶液中的少量镎(Ⅴ)。图2.8给出了Kd值与酸度的关系曲线，其中也包括了镎(Ⅳ)、镎(Ⅴ)、铪(Ⅳ)、钍(Ⅳ)和镤(Ⅴ)。镎(Ⅴ)的曲线与镤(Ⅴ)完全不同。在4~9 N范围内，镎(Ⅳ)与钍(Ⅳ)及铪(Ⅳ)有几乎相同的斜率。镎(Ⅳ)的酸度关系曲线在约8 N处有一最大值。

用甲苯做稀释剂，研究了在8 N时镎(Ⅳ)的Kd值与TBP浓度的关系。将所得的Kd值与TBP浓度作双对数图，如图2.7所示。结果表明，Kd值与TBP浓度呈立方关系。

## 1.3 H<sub>2</sub>SO<sub>4</sub>-TBP体系

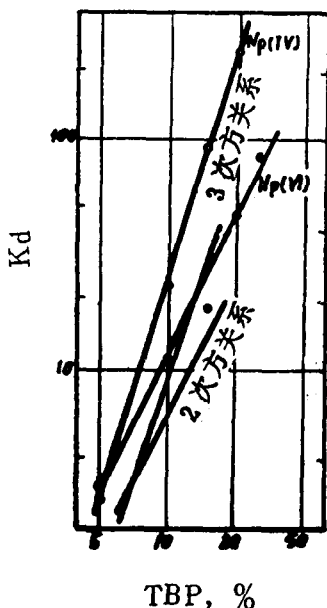


图2.7 在稀释的TBP-HCl体系中的Kd值

- 在6 N HCl中的Np(Ⅳ)
- 在8 N HCl中的Np(Ⅳ)

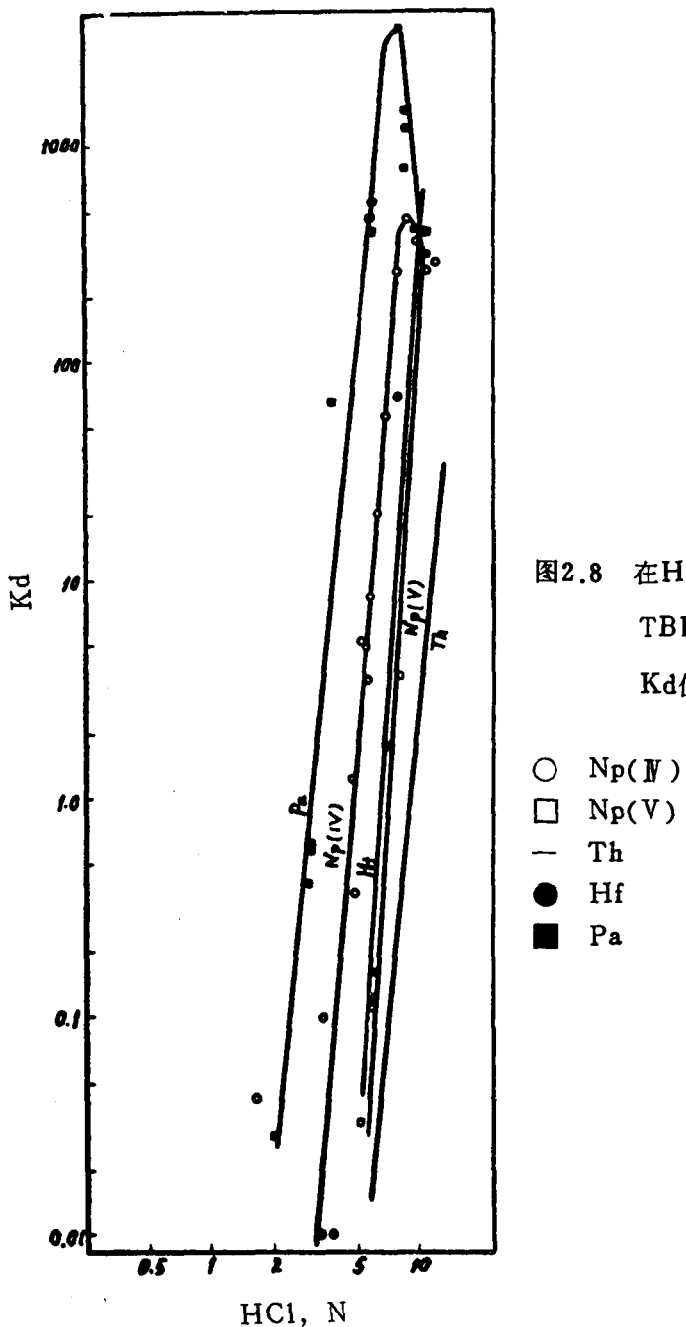


图2.8 在HCl-100% TBP体系中的Kd值

- Np(IV)
- Np(V)
- Th
- Hf
- Pa

镎(Ⅳ)的硫酸溶液是用硫酸高铈氧化镎(Ⅳ)和(Ⅴ)的混合物制得的<sup>[13]</sup>，而镎(Ⅴ)则是用硫酸肼还原制得的<sup>[13]</sup>。由水相酸度变化造成镎(Ⅴ)和(Ⅵ)的Kd值的变化，如图2.9所示。当硫酸的浓度大于约20N时，就不能进行萃取了，因为在这样高的酸度下，TBP与水相是可混溶的。一般说来，镎(Ⅴ)和(Ⅵ)的Kd值都较小，最大也只有2.5左右。图2.9给出了镎(Ⅴ)的Kd值与酸度的关系，以和镎(Ⅵ)作比较，镎(Ⅴ)的

行为与镁(V)不同。

镎(IV)是用硫酸溶液与含镎(IV)的TTA-苯接触制取的。为了防止镎(V)的沾污，将生成的酸溶液在较高的酸度下用盐酸羟胺和硫酸亚铁或0.1M的氢醌和碘化钾<sup>\*6</sup>处理；而在较低的酸度时则用粒状锌处理。在图2.9中也给出了镎(IV)的Kd值与酸度的关系；为比较起见，图中还示出了铪(IV)和钍(IV)的曲线。这三条曲线彼此是很相似的；在较低的酸度范围内镎(IV)的Kd值要比镎(V)的低。

在硫酸为20N时测定了镎(IV)的Kd值与TBP浓度的关系。将测得的Kd值与TBP浓度在双对数坐标中作图，如图2.10所示。由图可知，镎(IV)的Kd值与TBP浓度呈立方关系。

#### 1.4 HClO<sub>4</sub>-TBP体系

通过与TTA-苯体系中的镎溶液接触而得到的高氯酸溶液(>3N)只含有镎(V)，这是由下述实验得出的：

(a) 将一份3.4N含镎的高氯酸溶液与一份几乎等体积的被9N盐酸预先平衡过的TBP搅匀。该有机相曾与多份9N的盐酸连续平衡过。这样，该体系就转变为盐酸-TBP体系，最后的Kd值就接近于在9N盐酸时的镎(V)的Kd值。

(b) 将此离子用过氧化银氧化，所得的另一种离子即判明为镎(Ⅵ)。

在图2.11中给出了镎(V)和(Ⅵ)以及镁的Kd值与酸度的关系曲线。在3~8N酸度范围内，镎(V)的Kd值迅速增加。如以后将指出的那样，这特点可用于从辐照过的硝酸铀酰中分离镎。

测定了高氯酸为8N时镎(V)的Kd值与TBP浓度的关系，结果如图2.10所示。

用氢醌和碘化钾、过氧化氢、粒状锌

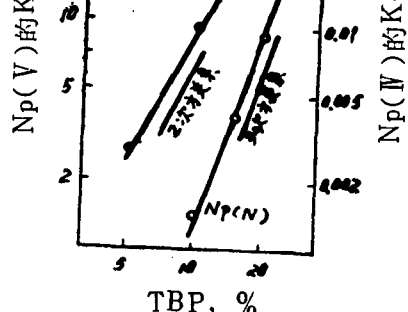


图2.10 在稀释的TBP-HClO<sub>4</sub>或H<sub>2</sub>SO<sub>4</sub>体系中的Kd值

- 8N HClO<sub>4</sub>时的Np(V)
- 20N H<sub>2</sub>SO<sub>4</sub>时的Np(IV)

<sup>\*6</sup> 氢醌和碘化钾通常用于还原镎为四价和还原钚为三价。

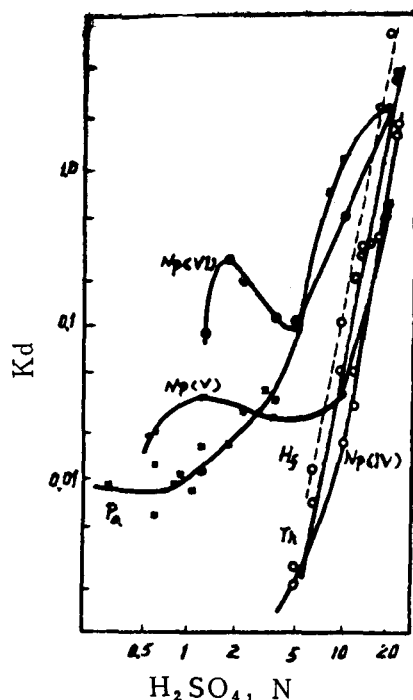


图2.9 在H<sub>2</sub>SO<sub>4</sub>-100%TBP体系中的Kd值

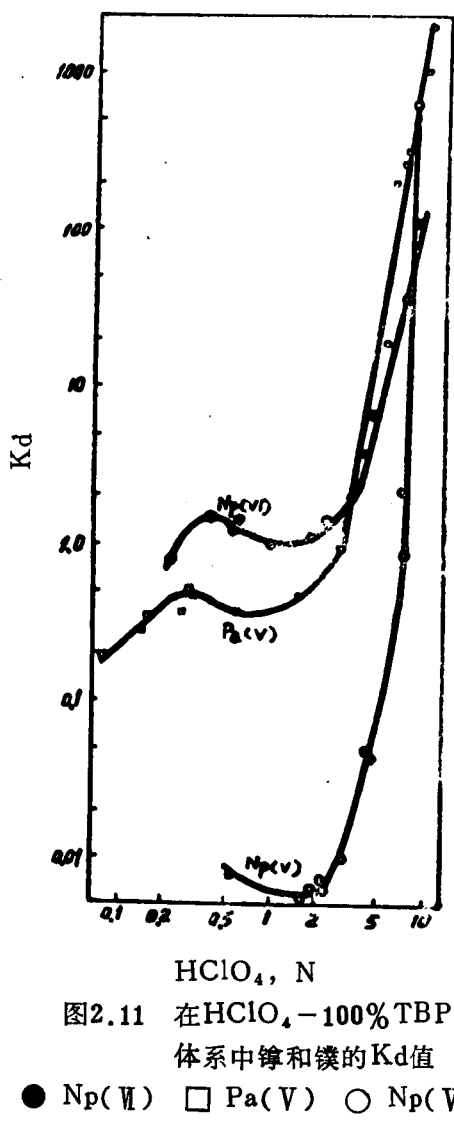


图2.11 在 $\text{HClO}_4$ -100% TBP  
体系中镎和镤的Kd值

●  $\text{Np}(\text{V})$  □  $\text{Pa}(\text{V})$  ○  $\text{U}(\text{V})$

或3% 锌汞齐还原镎(V)是不成功的。因此，不能得到四价镎的Kd值。

### 1.5 从辐照过的硝酸铀酰中分离镎

如图2.11所示，在 $\text{HClO}_4$ -TBP体系中镎(V)的Kd值从8N时的800降至2N时的0.006。用此即可不引入任何其它试剂而分离镎。

分离程序：如图2.12所示。将中子辐照过的硝酸铀酰六水化合物溶于少量浓高氯

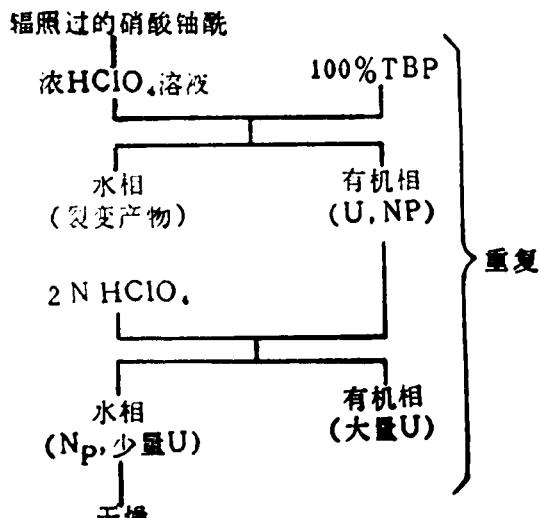


图2.12 镎的分离流程图

酸中。用红外灯加热此溶液以赶走硝酸。用数毫升浓高氯酸处理残渣，并将生成的溶液置于沸水中加热约10分钟。冷却以后，与100% TBP摇混。有机相含有镎(V)和铀，而大多数裂变产物留在水相中。用三份2N的高氯酸与该有机相混匀，所产生的水相含有镎(V)和少量铀，而大量铀留在有机相中。用100% TBP洗涤所得的水相，以完全除去铀，再用苯洗去水相中的TBP。用红外灯将水相产物烘干，并使残渣溶于无机酸中。

镎的收率约为90%，裂变产物的去污也是很好的。

## 2、二(2-乙基己基)磷酸萃取

在镎的二(2-乙基己基)磷酸(HDEHP)萃取研究中，四、五和六价镎的放射性指

示剂是按上述磷酸三丁酯萃取法制备的。

### 2.1 镝(Ⅶ)在HDEHP-HClO<sub>4</sub>体系中的分配

在约为0.6% (体积) HDEHP-甲苯和0.1~0.5N高氯酸的体系中, 测定了镎(Ⅶ)的分配系数。实验结果如图2.13所示; 图中还给出了铀(Ⅵ)的曲线, 以作比较, 它由Baes等人<sup>(3)</sup>的工作所得。Baes等人测定Kd值时, 在0.1M (体积百分比为3.33) HDEHP-正己烷和高氯酸 (酸度为0.01~2.0N) 的体系中测定的。

从这些结果可知, 镈(Ⅶ)和铀(Ⅵ)都能用HDEHP从低浓度的高氯酸溶液中很好地萃取。如图2.13所示, 镈和铀两条直线的斜率均为-2, 这表明镎(Ⅶ)和铀(Ⅵ)的离子很相似。

镎(Ⅶ)的Kd值与HDEHP浓度的关系是在高氯酸浓度为0.52N和甲苯为稀释剂时测定的。镎(Ⅶ)的实验结果如图2.14所示; 图中还给出了1N高氯酸时铀的Kd

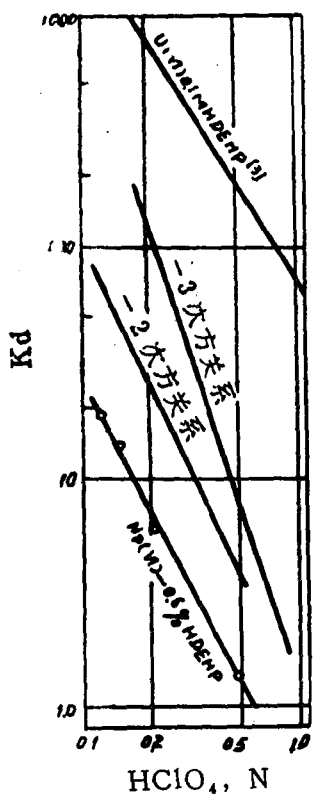


图2.13 Np(Ⅶ)和U(Ⅵ)的  
Kd值与酸度关系

值与HDEHP浓度的关系, 这也取自Baes等人<sup>(3)</sup>的研究。镎(Ⅶ)和铀(Ⅵ)的Kd值对HDEHP的浓度都是平方关系, 这就再次说明, 在酸性溶液中镎(Ⅶ)和铀(Ⅵ)的化学性质是相似的。

在其它体系中也发现了镎(Ⅶ)和铀(Ⅵ)之间的相似性。镎(Ⅶ)和铀(Ⅵ)在100% TBP-HClO<sub>4</sub>体系中的Kd值

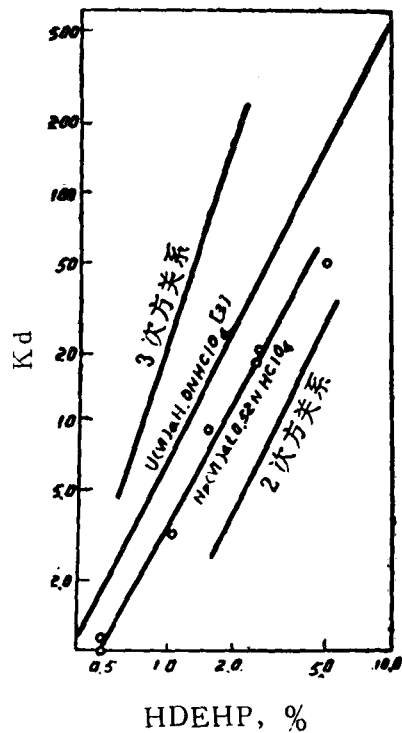


图2.14 Np(Ⅶ)和U(Ⅵ)的Kd值  
与HDEHP浓度的关系